

# 用谐波平衡法研究具有几个非线性元件的单回路调节系统<sup>1)</sup>

高为炳

## 摘 要

本文利用谐波平衡法研究了有几个非线性元件的单回路调节系统。首先将回路分拆为一些简单回路，其中每一个回路只有一个非线性元件。然后研究了自振（过去这方面的研究有[1]及[2]）及其稳定性，这时假定所有元件都是单值对称的。最后研究了强迫振动，此时有一个非线性元件可以是任意型的。

## 一、自振研究

### 1. 求有二个非线性元件的系统自振的“分拆法”

首先将系统(图1)分为二个开路系统(图2)来加以考虑。 $A_1$ 及 $A_2$ 表示线性部分， $H_1$ 及 $H_2$ 表示非线性元件。第一个开路系统的微分方程为：

$$D_1(p)y_1 = k_1(p)x_1, \quad x_1 = -f_1(y_2).$$

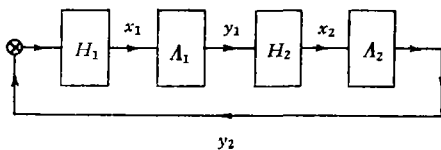


图 1.

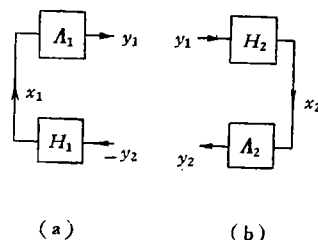


图 2.

取  $y_1$  及  $y_2$  之一次谐波： $y_1 = A_1 \sin \omega t$ ,  $y_2 = A_2 \sin(\omega t + \alpha)$ , 其中  $A_1, A_2, \omega, \alpha$  均为待求量。经过熟知的运算，可得  $H_1$  的等效放大系数及第一开路(图2a)的“自振频率特性方程”：

$$\frac{D_1(i\omega)}{k_1(i\omega)} = -R_1(A_2) \frac{A_2}{A_1} e^{i\alpha}, \quad (1)$$

$$R_1(A_2) = B_1(A_2) + iC_1(A_2),$$

$$B_1(A_2) = \frac{1}{\pi A_2} \int_0^{2\pi} f_1(A_2 \sin u) \sin u \, du,$$

1) 本文曾在1962年8月中国力学学会一般力学会议上宣读。

$$C_1(A_2) = \frac{1}{\pi A_2} \int_0^{2\pi} f_1(A_2 \sin u) \cos u \, du.$$

第二个开路系統的微分方程为:

$$D_2(p)y_2 = k_2(p)x_2, \quad x_2 = f_2(y_1).$$

用同样方法, 可得第二开路 (图 2b) 的“自振頻率特性方程”:

$$\frac{D_2(i\omega)}{k_2(i\omega)} = R_2(A_1) \frac{A_1}{A_2} e^{-i\alpha}. \quad (2)$$

以上結果可以用以下一劳永逸的方法来建立. 将第一开迴路以一个假想元件  $\Phi_{12}$  使之閉合 (图 3a), 而第二开迴路則利用  $\Phi_{21}$  (图 3b). 此二元件的頻率特性分别为:

$$\Phi_{12} = \frac{A_2}{A_1} e^{i\alpha}, \quad \Phi_{21} = \frac{A_1}{A_2} e^{-i\alpha}.$$

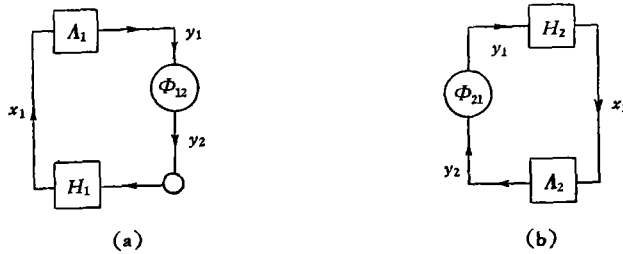


图 3.

于是得到的二个简单迴路各只有一个非綫性元件. 它們的自振頻率方程可写成:

$$\frac{D_1(i\omega)}{k_1(i\omega)} = -R_1(A_2)\Phi_{12}, \quad \frac{D_2(i\omega)}{k_2(i\omega)} = R_2(A_1)\Phi_{21}.$$

上述方法我們称之为“分拆法”. 假想的元件  $\Phi_{12}$  及  $\Phi_{21}$  具有明显的物理概念, 如  $\Phi_{12}$  是  $y_1$  到  $y_2$  的幅相变换器, 输入經過  $\Phi_{12}$  后, 振幅增加  $\frac{A_2}{A_1}$  倍, 相位增加  $\alpha$  角.

## 2. 有二个非綫性元件的系統的自振求法

現从式(1)及(2)来求出  $A_1$ ,  $A_2$ ,  $\omega$  及  $\alpha$ . 假定  $f_1$  及  $f_2$  均为单值对称的, 則  $R_1(A_2) = B_1(A_2)$ ,  $R_2(A_1) = B_2(A_1)$ . 式(1)及(2)可写作:

$$\frac{D_1(i\omega)}{k_1(i\omega)} = R_1(A_2) \frac{A_2}{A_1} e^{i(\alpha+\pi)}, \quad \frac{D_2(i\omega)}{k_2(i\omega)} = R_2(A_1) \frac{A_1}{A_2} e^{-i\alpha}. \quad (3)$$

首先求出  $\alpha$  及  $\omega$ . 綫性部分的倒頻特性  $I_1(i\omega) = \frac{D_1(i\omega)}{k_1(i\omega)}$  及  $I_2(i\omega) = \frac{D_2(i\omega)}{k_2(i\omega)}$  是已知的, 它們可以从微分方程作出, 亦可以从实验得来. 将之作于同一图上, 并令实軸重合而虚軸反向; 过原点作一直綫并轉动之, 直到它与  $I_1$  及  $I_2$  之交点  $m$  及  $n$  有相同的  $\omega$  标值. 这个  $\omega$  及直綫与实軸的交角  $\alpha$  (图 4), 就是我們要求的. 証明是容易的, 因为在下二向量等式中,

$$\overline{om} = I_2(i\omega) = om e^{-i\alpha}, \quad \overline{on} = I_1(i\omega) = on e^{i(\alpha+\pi)},$$

如果选择  $A_1$  及  $A_2$ , 使之滿足下式, 正好得到式(3)

$$om = R_2(A_1) \frac{A_1}{A_2}, \quad on = R_1(A_2) \frac{A_2}{A_1}. \quad (4)$$

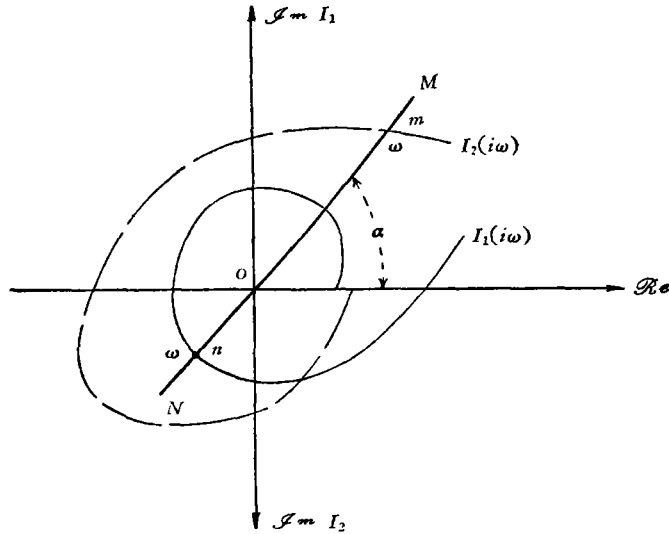


图 4.

式(4)决定着  $A_1$  及  $A_2$ , 它又可写作:

$$A_1 = \frac{1}{on} R_1(A_2)A_2 = F_1(A_2), \quad A_2 = \frac{1}{om} R_2(A_1)A_1 = F_2(A_1). \quad (5)$$

式(5)中的  $F_1$  及  $F_2$  的图, 可从熟知的典型元件等效放大系数的特性图作出. 图 5 给出了  $A_1$  及  $A_2$  的作图求法. 对图中所示情况, 我们得到二个自振.

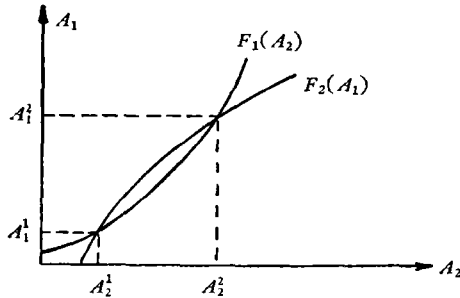


图 5.

### 3. 有几个非线性元件的系统的“分拆法”

假定系统有  $n$  个非线性元件(图 6). 经过与第 2 小节中相同的方法加以处理, 可证

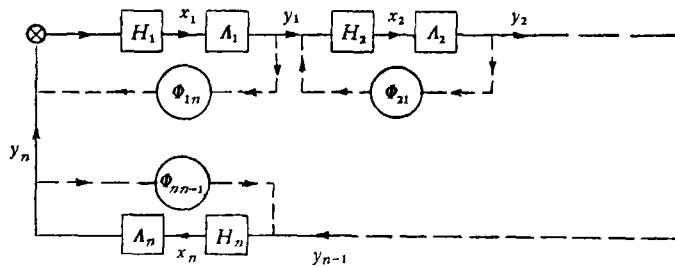


图 6.

明它等价于  $n$  个简单回路(图 7), 并可写出系统的自振频率特性方程:

$$I_1(i\omega) = R_1(A_n) \frac{A_n}{A_1} e^{i(\alpha_1 + \dots + \alpha_{n-1} + \pi)}, \tag{6a}$$

$$I_2(i\omega) = R_2(A_1) \frac{A_1}{A_2} e^{-i\alpha_1}, \tag{6b}$$

$$\dots\dots\dots I_n(i\omega) = R_n(A_{n-1}) \frac{A_{n-1}}{A_n} e^{-i\alpha_{n-1}}, \tag{6z}$$

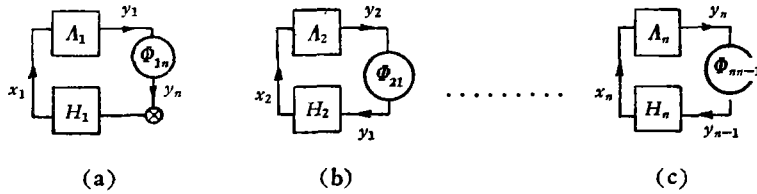


图 7.

式中  $A_i, \alpha_i, \omega$  为各坐标第一谐量:  $y_1 = A_1 \sin \omega t, y_2 = A_2 \sin (\omega t + \alpha_1), \dots, y_n = A_n \sin (\omega t + \alpha_1 + \dots + \alpha_{n-1})$  的振幅、相差及频率. 将 (6b)  $\dots$  (6z) 相乘, 式 (6) 又可写成:

$$I_1(i\omega) = R_1(A_n) \frac{A_n}{A_1} e^{i(a+\pi)}, \quad I(i\omega) = R \frac{A_1}{A_n} e^{-ia}, \tag{7}$$

$$I(i\omega) = I_2(i\omega) \dots I_n(i\omega), \quad a = \sum_{j=1}^{n-1} \alpha_j, \quad R = R_2(A_1) \dots R_n(A_{n-1}).$$

用第 2 小节的方法, 从式 (7) 可求出  $\omega$  及  $\alpha$  (图 8), 同时得到二个代数方程:

$$om = R \frac{A_1}{A_n}, \quad on = R_1(A_n) \frac{A_n}{A_1}. \tag{8}$$

因  $\omega$  已知, 故研究式 (6b)  $\dots$  (6z) 即可求出  $A_1, A_2, \dots, A_n$  及  $\alpha_1, \alpha_2, \dots, \alpha_{n-1}$ . 例如, 在  $I_2(i\omega)$  平面上(图 9), 由求得的  $\omega$  可得  $b$  点, 于是确定了  $\alpha_1$ , 并得到:

$$ob = R_2(A_1) \frac{A_1}{A_2}. \tag{9}$$

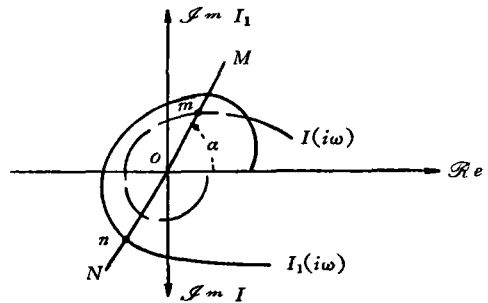


图 8.

用同样的办法, 可求得  $\alpha_2 \dots \alpha_{n-1}$ , 并得:

$$\dots, \quad oz = R_n(A_{n-1}) \frac{A_{n-1}}{A_n}. \tag{10}$$

式 (8), (9), (10) 给出:

$$\left. \begin{aligned} A_1 &= \frac{1}{on} R_1(A_n) A_n = F_1(A_n), \dots \\ \dots\dots\dots \\ A_n &= \frac{1}{oz} R_n(A_{n-1}) A_{n-1} = F_n(A_{n-1}). \end{aligned} \right\} \tag{11}$$

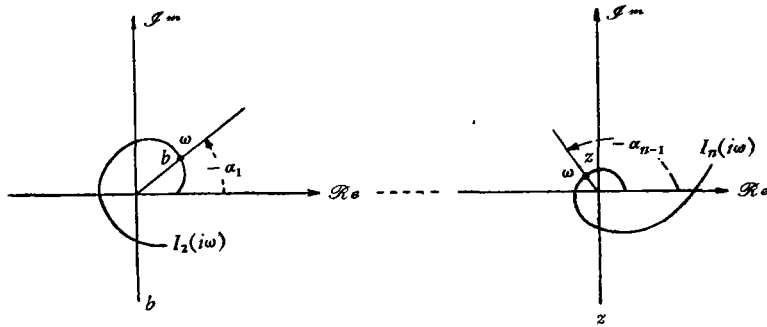


图 9.

方程组(11)是一递归方程组,它可用作图法或迭代法<sup>[3]</sup>求解.

现考虑一个特殊情况.如果非线性元件中至少有一个简单继电器(图10),例如是  $H_1$ ,则可得到全部最后解答:

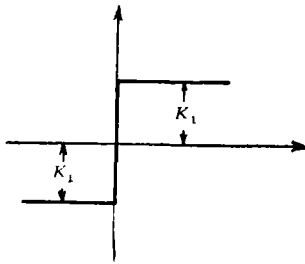


图 10.

$$A_1 = \frac{1}{on} R_1(A_n)A_n = \frac{4K_1}{on\pi},$$

$$A_2 = F_2(A_1) = F_2\left(\frac{4K_1}{on\pi}\right), \dots$$

## 二、强迫振动研究

### 1. 具有一个非线性元件的系统的强迫振动(图11)

这个问题早已用作图法获得解决,即便在频率特性是实验给出的情况下,亦可用下述分析法求出强迫振动.令  $y = A \sin(\omega t + \alpha)$ ,强迫振动的频率方程为:

$$I(i\omega) = \frac{S}{A} e^{-i\alpha} - R(A).$$

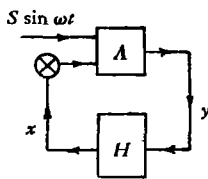


图 11.

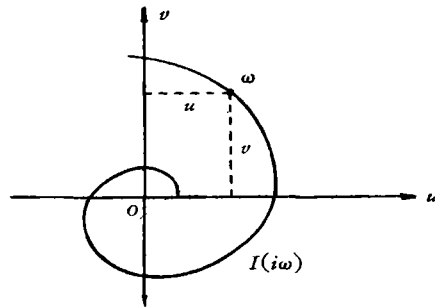


图 12.

令  $I(i\omega) = u + iv$ ,  $u$  及  $v$  为已知常数(图12). 从上式可得:

$$u = \frac{S}{A} \cos \alpha - B(A), \quad v = -\frac{S}{A} \sin \alpha - C(A). \tag{12}$$

由式(12)可解出  $A$  及  $\alpha$ 。顺便可以看出，为了求强迫振动，不需要知道线性部分的全部频率特性，而只要一点就够了。非线性元件是任意型的。

**2. 具有二个非线性元件的系统的强迫振动**

第 1 小节中的分拆法不难证明仍然是有效的。这里可将系统(图 13)分拆为二个简单回路(图 14)，其中仅  $H_2$  是单值对称的。设  $y_1 = A_1 \sin(\omega t + \alpha)$ ,  $y_2 = A_2 \sin(\omega t + \alpha + \beta)$ ,

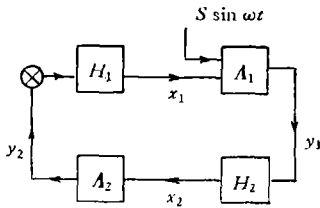


图 13.

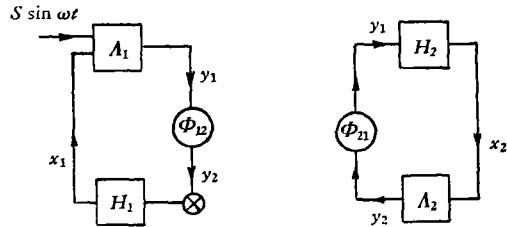


图 14.

于是强迫振动的频率方程可写成：

$$I_1(i\omega) = \frac{S}{A_1} e^{-i\alpha} - R_1(A_2) \frac{A_2}{A_1} e^{i\beta}, \quad I_2(i\omega) = R_2(A_1) \frac{A_1}{A_2} e^{-i\beta}. \quad (13)$$

问题归结为求出  $A_1, A_2, \alpha$  及  $\beta$ 。现研究式(13)之第二式(图 15)。因  $\omega$  为已知，故可求得  $\beta$  及一个代数方程：

$$om = R_2(A_1) \frac{A_1}{A_2} \quad \text{或} \quad A_2 = \frac{1}{om} R_2(A_1) A_1. \quad (14)$$

代入式(13)之第一式，有：

$$I_1(i\omega) = \frac{S}{A_1} e^{-i\alpha} + R(A_1) e^{i\beta},$$

$$R(A_1) = -R_1(A_2) \frac{A_2}{A_1} = -R_1 \left[ \frac{1}{om} R_2(A_1) A_1 \right] \frac{1}{om} R_2(A_1). \quad (15)$$

于是可用(1)中的方法求出  $A_1$  及  $\alpha$ ，然后由式(14)给出  $A_2$ 。

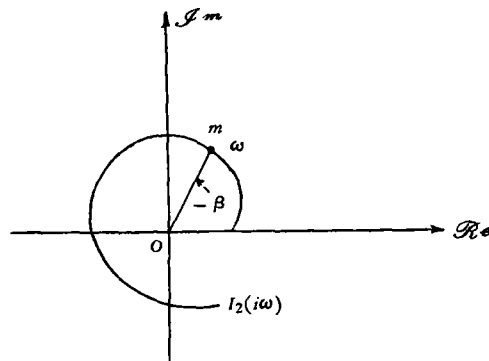


图 15.

当非线性元件  $H_2$  是简单继电器时，式(14)中的  $A_2 = \frac{4K_2}{om\pi}$ ，而式(15)中的  $R(A_1) = -\frac{4K_1}{\pi A_1}$ 。于是式(15)可写成：

$$I_1(i\omega) = \frac{S}{A_1} e^{-i\alpha} - \frac{4K_1}{\pi A_1} e^{i\beta}.$$

令  $I_1(i\omega) = u + iv$ . 分开实部及虚部后,得:

$$A_1 u = S \cos \alpha - \frac{4K_1}{\pi} \cos \beta, \quad A_1 v = -S \sin \alpha - \frac{4K_1}{\pi} \sin \beta.$$

消去  $\alpha$ , 得  $A_1$  的二次方程:

$$A_1^2(u^2 + v^2) + A_1 \frac{8K_1}{\pi} (u \cos \beta + v \sin \beta) + \frac{16K_1^2}{\pi^2} - S^2 = 0.$$

对  $A_1$  有解的条件及其简化结果分别为:

$$\frac{16K_1^2}{\pi^2} (u \cos \beta + v \sin \beta)^2 - (u^2 + v^2) \left( \frac{16K_1^2}{\pi^2} - S^2 \right) \geq 0;$$

$$S \geq \frac{4K_1}{\pi} |\sin(v - \beta)|, \quad v = \text{tg}^{-1} \frac{v}{u}.$$

这就是强迫振动出现的条件.

以上结果不难推广到有  $n$  个非线性元件的系统.

### 三、关于自振的稳定性

#### 1. 一个非线性元件的情况(图 16)

有一个非线性元件的系统的自振稳定性问题, 早已解决. 这里再给出一个方法, 为的是进一步推广, 以便解决多个非线性元件的情况. 将系统开断(图 17), 令输入及输出分别为:  $y_2 = A_2 \sin(\omega t)$ ,  $y_1 = A_1 \sin(\omega t + \varphi)$ . 二振幅之间的关系为:

$$A_1 = R(A_2) A_2 \left| \frac{k(i\omega)}{D(i\omega)} \right| = R(A_2) A_2 \frac{1}{|f(i\omega)|} = F(A_2). \quad (16)$$

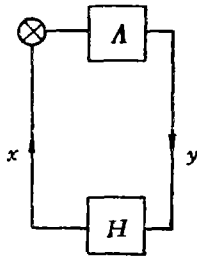


图 16.

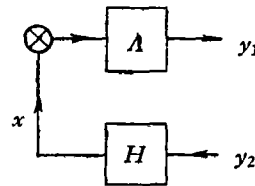


图 17.

在  $A_1 A_2$  平面上作出式(16)的图, 并称之为“自振时开路的振幅关系”. 再作出  $A_1 = A_2$  的直线, 二者的交点(图 18)便给出自振振幅.  $\omega$  为自振频率, 是已经求得的已知量, 而自振时亦有  $\varphi = 0$ .  $A^2$  对应之自振的稳定性可用建立类似柯尼克-拉麦莱梯线(图 18)的方法决定. 这条梯线可称之为“自振振幅建立梯线”. 此自振是稳定的. 这个论断是根据如下的物理概念得到的. 当输入  $y_2$  之振幅大于  $A^2$  时,  $y_1$  之振幅取一个较之  $y_2$  的振幅为小的值. 再以这个振幅作为  $y_2$  的振幅作为输入, 于是  $y_1$  之振幅又变小. 这样继续下去,  $y_1$  及  $y_2$  之振幅都趋向于  $A^2$ . 当  $y_2$  之振幅小于  $A^2$  时,  $y_1$  及  $y_2$  之振幅将逐渐增加, 并趋向于  $A^2$ . 于是可说  $A^2$  之自振是稳定的. 同样可看出  $A^1$  对应的自振是不稳定的.

不难写出判定自振稳定性的解析式:

$$|F'(A)| < 1, \text{ 或 } \left| \frac{dA_1}{dA_2} \right| < 1. \quad (17)$$

当  $F'(A) > 0$  时, 这个条件的意义即是图 18 所示的情况. 当  $F'(A) < 0$  时, 以同样的方式作出“自振振幅建立梯线”, 亦可得到条件 (17).  $F'(A)$  的值是在交点处计算的. 容易证明, 条件 (17) 和 Гольдфарб 判据全同.

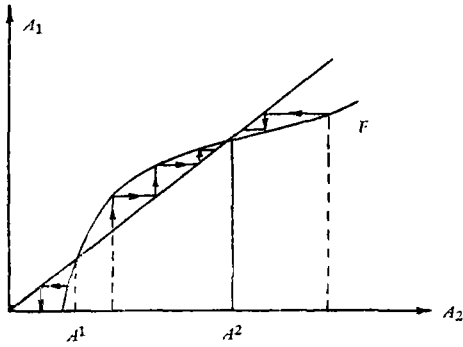


图 18.

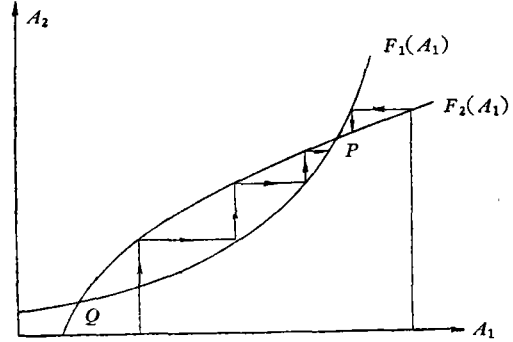


图 19.

## 2. 有几个非线性元件的情况

先研究有二个非线性元件的系统. 我们曾得到决定振幅的代数方程 (5). 在  $A_1$  及  $A_2$  平面上画出此二曲线, 其交点即是自振振幅的值. 可以和上一小节一样作出“自振振幅建立梯线”, 而各自振的稳定性则一目了然 (图 19).  $P$  为稳定自振,  $Q$  为不稳定的自振.

这里亦可以写出判定自振稳定性的分析条件:

$$|[F'_1(A_2)]^*[F'_2(A_1)]^*| < 1, \quad (18)$$

其中 \* 号表示微分后应代入待研究的自振振幅值. 这个条件可以这样导出, 即将式 (5) 写成复合函数形式:  $A'_1 = F_1(A_2) = F_1[F_2(A_1)]$ . 此式与式 (16) 的情况完全一样. 由式 (17) 可以得到:

$$\left| \frac{dA'_1}{dA_1} \right| = |F'_1 \cdot F'_2| < 1,$$

即条件 (18). 当然也可以用作“自振振幅建立梯线”的方法, 直观地得到条件 (18). 不过这时应考虑  $F'_1$  及  $F'_2$  取正及负的四种可能情况. 不难确信, 在这四种情况中, 式 (18) 是成立的.

有  $n$  个非线性元件的系统的情况, 可用各种办法加以解决, 如对式 (11) 的  $n$  个方程组可采用迭代法. 很明显, 用迭代法得到的自振全是稳定的 (不稳定自振用此法一般是求不到的). 亦可用作图法分别在不同纸上画出 (11), 进行与上述情况类似的分析.

## 四、举 例

### 1. 研究系统 (图 20)

该系统的微分方程式为:

$$(p^2 + ap + 1)y_1 = -bx_1, \quad x_1 = f_2(y_2),$$



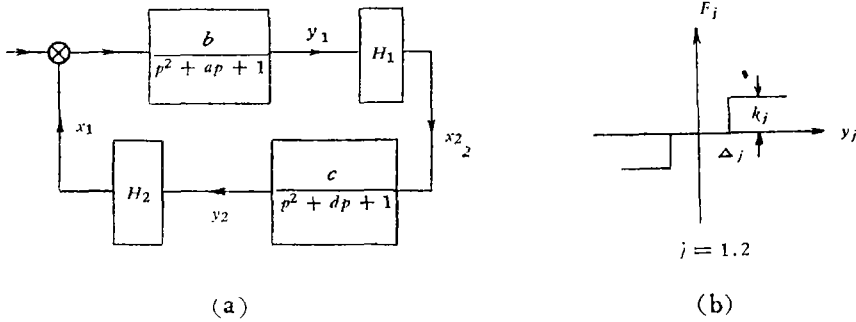


图 20.

$$(p^2 + dp + 1)y_2 = cx_2, \quad x_2 = f_1(y_1).$$

令  $K_1 = bk_2, K_2 = ck_1$ , 上述方程组可写作:

$$\begin{aligned} (p^2 + ap + 1)y_1 &= -K_1x_1, & x_1 &= F_2(y_2), \\ (p^2 + dp + 1)y_2 &= K_2x_2, & x_2 &= F_1(y_1), \end{aligned}$$

其中  $F_1$  及  $F_2$  如图 21 所示. 可以求出自振频率  $\omega = 1, a = \frac{\pi}{2}$ , 如图 22 所示, 其中  $I_1(i\omega) = u_1 + iv_1, I_2(i\omega) = u_2 + iv_2$ . 决定振幅的方程式为:

$$A_2 = \frac{4K_1}{\pi a} \sqrt{1 - \left(\frac{\Delta_1}{A_1}\right)^2}, \quad A_1 = \frac{4K_2}{\pi d} \sqrt{1 - \left(\frac{\Delta_2}{A_2}\right)^2}. \quad (19)$$

图 23 给出了求  $A_1$  及  $A_2$  的几种可能情况及自振的稳定性.

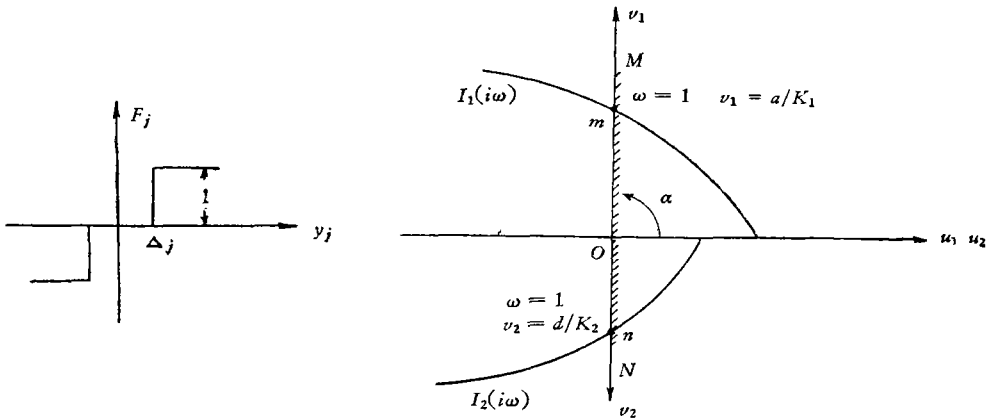


图 21.

图 22.

### 2. 研究参数对自振的影响

令  $A = \left(\frac{4K_1}{\pi a}\right)^2, B = \left(\frac{4K_2}{\pi d}\right)^2, C = \Delta_1^2, D = \Delta_2^2, X = A_1^2, Y = A_2^2$ , 于是式(19)可写作:

$$X = B\left(1 - \frac{D}{Y}\right), \quad Y = A\left(1 - \frac{C}{X}\right).$$

消去  $Y$ , 得  $X^2 + \left(\frac{BD}{A} - B - C\right)X + BC = 0$ . 此式有实根的条件为:

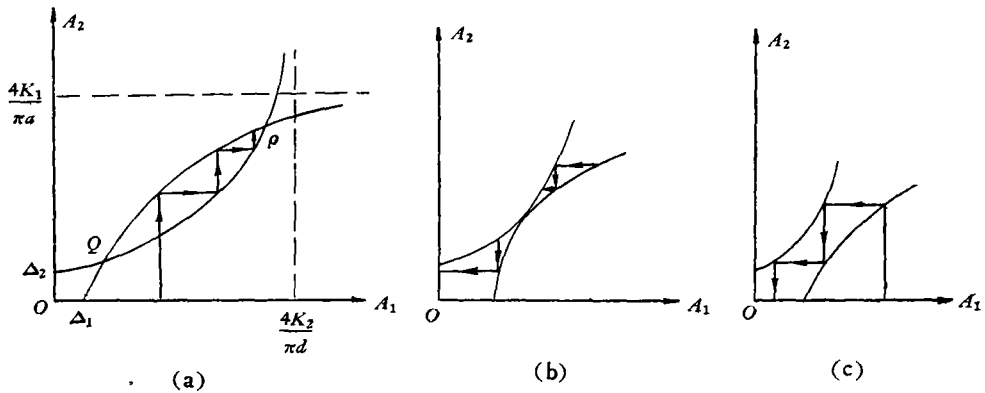


图 23.

$$\left(B + C - \frac{BD}{A}\right)^2 - 4BC > 0. \quad (20)$$

式(20)表示图 23a 的情况。系统有二个自振：当式(20)取  $< 0$  时，为图 23c 的情况，系统是全局渐近稳定的；当式(20)取等号时，为临界情况。因之，参数  $ABCD$  空间被  $\left(B + C - \frac{BD}{A}\right)^2 = 4BC$  分成二个区域，其一为全局渐近稳定区，另一为自振区。如果系统只有二个或三个待定参数，则参数空间为平面或三维空间，这二个区域的界面是可以作出的。

## 参 考 文 献

- [1] Наджафов, Э. М., Приближенное определение периодических решений в системах автоматического регулирования, содержащих несколько нелинейностей, Труды 2-го совещания по теории автоматического регулирования, том 1, Изд. АН СССР, Москва, 1955, 204—218.
- [2] Ту Сюй-янь (徐序彦), Гэй Жу-вы (戴汝为), Автоколебания в одноконтурной системе автоматического регулирования, содержащих два симметричных реле, Автоматика и телемеханика, 1959, № 1, 90—94.
- [3] 华罗庚, 高等数学引论, 第一卷, 第一分册, 科学出版社, 北京, 1963, 236—237.

## DESCRIBING-FUNCTION METHOD FOR THE STUDY OF SINGLE LOOP CONTROL SYSTEMS CONTAINING SEVERAL NONLINEARITIES

КАО WEI-BIN

The single-loop control systems containing several nonlinearities are studied by describing-function method. A method is proposed by which the entire system can be divided into simple sections each of which contains but one nonlinearity. Then the self-sustained oscillation and its stability are studied for the case when the nonlinearities are single-valued and symmetric. Finally, systems with forced oscillations are also analysed.